

Signaux et Systèmes

Chapitre 10

Fourier discret

Avril 2022

TABLE DES MATIÈRES

10.1 LA TRANSFORMÉE DE FOURIER À TEMPS DISCRET (DTFT)

10.2 LA TRANSFORMÉE DE FOURIER DISCRÈTE (DFT)

10.3 LA TRANSFORMÉE DE FOURIER RAPIDE (FFT)

10.1 LA DTFT

- Système LID: excitation sinusoïdale
- Définition de la DTFT
- Lien avec la transformée en z
- Analogie vecteurs propres/analyse de Fourier
- Lien avec la transformée de Fourier continue
- Propriétés de la DFT

10-3

Système LID: excitation sinusoïdale

- Système LID: rappel

$$\begin{array}{ccc} f[n] & \xrightarrow{\quad S_h\{\cdot\} \quad} & g[n] = S_h\{f\}[n] = (h * f)[n] \\ \delta[n] & & S_h\{\delta\}[n] = h[n] \end{array}$$

$$(h * f)[n] = \sum_{k \in \mathbb{Z}} h[k]f[n - k] \quad \text{Stabilité BIBO} \Leftrightarrow h \in \ell_1(\mathbb{Z})$$

- Excitation sinusoïdale

$$e_{\omega_0}[n] \triangleq e^{j\omega_0 n} = \cos(\omega_0 n) + j \sin(\omega_0 n) \quad \text{avec} \quad \omega_0 \in (-\pi, \pi] \text{ (fixé)}$$

$$(h * e_{\omega_0})[n] = \sum_{k \in \mathbb{Z}} h[k]e^{j\omega_0(n-k)} = \sum_{k \in \mathbb{Z}} h[k]e^{jn\omega_0}e^{-j\omega_0 k} = \underbrace{\left(\sum_{k \in \mathbb{Z}} h[k]e^{-j\omega_0 k} \right)}_{H(e^{j\omega_0}) = A e^{j\theta}} e_{\omega_0}[n]$$

NB: $e_{\omega_0} \in \ell_\infty(\mathbb{Z})$ (borné) implique que la convolution est bien définie pour $h \in \ell_1(\mathbb{Z})$

Définition de la DTFT

La **transformée de Fourier** à temps discret (discrete-time Fourier transform, DTFT) du signal $f[n]$ est donnée par l'expression



$$\begin{aligned}\mathcal{F}_d\{f\}(\omega) &= \mathcal{F}\left\{\sum_{n \in \mathbb{Z}} f[n] \delta(\cdot - n)\right\}(\omega) \\ &= \sum_{n \in \mathbb{Z}} f[n] e^{-j\omega n}\end{aligned}$$

Remarques

- Bien qu'elle s'applique à des signaux discrets, la DTFT est une fonction (ou distribution) de la variable réelle ω et est de nature continue.
- La DTFT d'un signal discret est périodique de période 2π . Quand on la trace, on se limite donc toujours à l'intervalle $\omega \in [-\pi, \pi]$.
- La convergence de la somme vers une vraie fonction n'est assurée que si $f \in \ell_1(\mathbb{Z})$;
c.-à-d. si $\sum_{n \in \mathbb{Z}} |f[n]| < \infty$.

Lien avec la transformée en z

Lorsque la transformée en z de $f[n]$ est convergente sur le cercle unité $\{z = e^{j\omega} : \omega \in [-\pi, \pi]\}$, on a



$$F(e^{j\omega}) = \sum_{n \in \mathbb{Z}} f[n] z^{-n} \Big|_{z=e^{j\omega}} = \sum_{n \in \mathbb{Z}} f[n] e^{-j\omega n} = \mathcal{F}_d\{f\}(\omega)$$

On utilisera donc systématiquement la notation $F(e^{j\omega})$ pour désigner la DTFT de $f[n]$.

Exemple: si $f[n] = \left(\frac{1}{2}\right)^n u[n]$ alors $\mathcal{F}_d\{f\}(\omega) = \frac{1}{1 - \frac{1}{2}e^{-j\omega}}$.

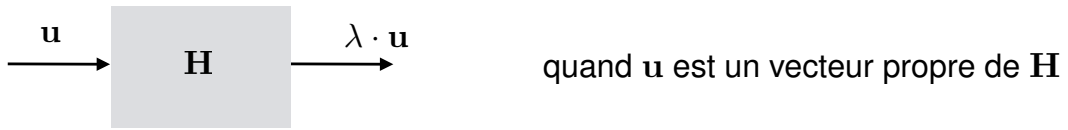
Cependant, la DTFT est plus permissive que la transformée en z .

Exemple: $f[n] = 1 \xrightarrow{\mathcal{F}_d} \sum_{n \in \mathbb{Z}} e^{-j\omega n} = 2\pi \left(\sum_{n \in \mathbb{Z}} \delta(\omega - 2n\pi) \right) \triangleq 2\pi \delta_{\text{perio}}(\omega)$

alors que la transformée en z de ce signal n'existe que de façon **formelle**, et pas **analytique**.

Vecteurs propres

Système linéaire de dimension finie



■ Opérateur linéaire $\mathbb{R}^N \rightarrow \mathbb{R}^N : \mathbf{y} = \mathbf{H} \cdot \mathbf{x}$

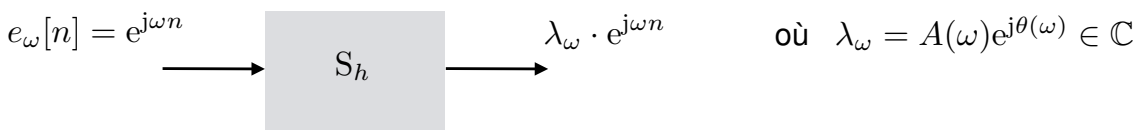
- Matrice de transformation symétrique: $\mathbf{H} \in \mathbb{R}^{N \times N}$
- Vecteurs propres: $\mathbf{u}_1, \dots, \mathbf{u}_N \in \mathbb{R}^N$ avec $\|\mathbf{u}_n\|_2 = 1$ et $\langle \mathbf{u}_n, \mathbf{u}_m \rangle = \delta_{m-n}$

$$\mathbf{H} \cdot \mathbf{u}_n = \lambda_n \cdot \mathbf{u}_n \quad \text{où} \quad \lambda_n \in \mathbb{R} \quad (\text{valeurs propres})$$

- Matrice des vecteurs propres: $\mathbf{U} = [\mathbf{u}_1 \cdots \mathbf{u}_N] \in \mathbb{R}^{N \times N}$
- Diagonalisation: $\mathbf{H} = \mathbf{U} \Lambda \mathbf{U}^T$ avec $\Lambda = \text{diag}(\lambda_1, \dots, \lambda_N)$

Analogie vecteurs propres/analyse de Fourier

Système LID



■ Opérateur LID $f \mapsto h * f : \ell_\infty(\mathbb{Z}) \rightarrow \ell_\infty(\mathbb{Z}) \Leftrightarrow h \in \ell_1(\mathbb{Z})$

- Signaux "propres" $\{e_\omega[\cdot]\}_{\omega \in (-\pi, \pi]}$ avec $\|e_\omega\|_{\ell_\infty} = 1$: sinusoïdes complexes

$$S_h\{e_\omega\} = \lambda_\omega \cdot e_\omega \quad \text{où} \quad \lambda_\omega = H(e^{j\omega}) = S_h\{e_\omega\}[0] \quad (\text{valeurs propres})$$

- Transformation de Fourier: $\mathcal{F}_d : f \mapsto F(e^{j\omega}) = \langle f, e_\omega \rangle = \sum_{k \in \mathbb{Z}} f[k] e^{-j\omega k}$

- Diagonalisation: $S_h = \mathcal{F}_d^{-1} \Lambda_H \mathcal{F}_d$ avec $\Lambda_H : F(e^{j\omega}) \mapsto H(e^{j\omega}) \cdot F(e^{j\omega})$

Conséquences pratiques: la réponse d'un système LID discret à une excitation sinusoïdale complexe est une sinusoïde complexe de même fréquence avec un facteur d'atténuation A et un déphasage θ qui dépendent de la fréquence. Grâce à cette propriété, la convolution peut se calculer par simple pondération (multiplication) dans le domaine de Fourier.

Lien avec la transformée de Fourier continue

Un signal discret $f[n]$ étant représentable par un signal continu

$$f[n] \xrightarrow{\text{représentation continue}} f_T(t) = \sum_{n \in \mathbb{Z}} f[n] \cdot \delta(t - nT)$$

on remarque que $F(e^{j\omega T}) = \mathcal{F}\{f_T\}(\omega)$.

En particulier, si $x(t)$ est un signal continu à **bande limitée** dans $\omega \in [-\frac{\pi}{T}, \frac{\pi}{T}]$ et si $f[n] = x(nT)$ sont ses échantillons à la fréquence $1/T$, alors on sait (Shannon) que

$$x(t) = \text{sinc}(t/T) * f_T(t).$$

D'où le lien entre la DTFT et la transformée de Fourier en temps continu



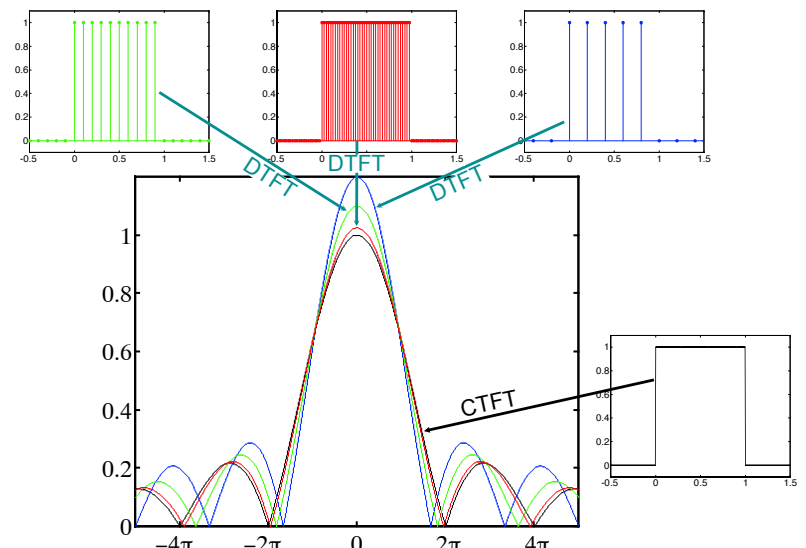
$$\begin{aligned} \mathcal{F}\{x\}(\omega) &= X(\omega) = F(e^{j\omega T}) \cdot T \text{rect}\left(\frac{\omega T}{2\pi}\right) \\ &= \begin{cases} T \cdot F(e^{j\omega T}), & \text{si } \omega \in [-\frac{\pi}{T}, \frac{\pi}{T}] \\ 0, & \text{sinon} \end{cases} \end{aligned}$$

NB: $\sum_n \underbrace{x(t_n) e^{-j\omega t_n}}_{f[n] e^{-j\omega nT}} \underbrace{\Delta t}_T$ est la somme de Riemann de l'intégrale $\int_{\mathbb{R}} x(t) e^{-j\omega t} dt$.

De manière plus générale, on peut appliquer la formule de **Poisson**: Si $f[n] = x(nT)$ sont les échantillons d'un signal à temps continu $x(t)$, alors

$$F(e^{j\omega}) = \frac{1}{T} X\left(\frac{\omega}{T}\right) + \sum_{k \neq 0} \frac{1}{T} X\left(\frac{\omega - 2\pi k}{T}\right)$$

ce qui montre que la DTFT est une **approximation de la transformée de Fourier** de la fonction $x(Tt)$.



Exemple: DTFT d'échantillons de la fonction $x(t) = \text{rect}(t - \frac{1}{2})$ pour $T = 0.2, 0.1$, et 0.25 .

Propriétés de la DTFT

■ Relations de bases

Elles sont déduites de celles de la transformée en z .

- complexe conjugué: $\mathcal{F}_d\{f^*\}(\omega) = (F(e^{-j\omega}))^*$
- renversement $f^\vee[n] \triangleq f[-n]$: $\mathcal{F}_d\{f^\vee\}(\omega) = F(e^{-j\omega}) = (F(e^{j\omega}))^\vee$
- décalage: $\mathcal{F}_d\{f[\cdot - n_0]\}(\omega) = e^{-j\omega n_0} F(e^{j\omega}), \quad n_0 \in \mathbb{Z}$
- modulation: $\mathcal{F}_d\{e^{j\omega_0 n} f[n]\}(\omega) = F(e^{j(\omega - \omega_0)})$

■ Relation de symétrie

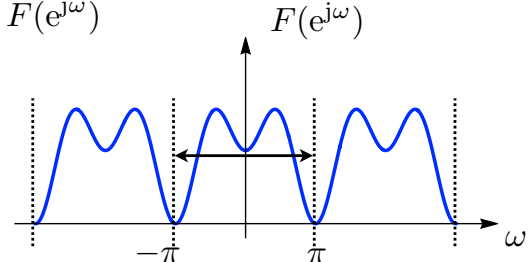
- symétrie Hermitienne: $f[n]$ réel $\Leftrightarrow F(e^{-j\omega}) = (F(e^{j\omega}))^*$
- symétrie en n_0 : $f[n] = f[n_0 - n] \Leftrightarrow F(e^{j\omega}) = e^{-j n_0 \omega} F(e^{-j\omega}), \quad n_0 \in \mathbb{Z}$
- antisymétrie en n_0 : $f[n] = -f[n_0 - n] \Leftrightarrow F(e^{j\omega}) = -e^{-j n_0 \omega} F(e^{-j\omega}), \quad n_0 \in \mathbb{Z}$

NB: les symétries sont importantes! Elles permettent de vérifier les calculs.

Périodicité de la DTFT

■ La DTFT est 2π -périodique

$$\forall \omega \in \mathbb{R}: \quad F(e^{j(\omega+2\pi)}) = \sum_{k \in \mathbb{Z}} f[k] \underbrace{e^{-j(\omega+2\pi)k}}_{e^{-j\omega k}} = F(e^{j\omega})$$



■ Série de Fourier de la DTFT

- Base orthonormale de Fourier pour l'intervalle $\omega \in [-\pi, \pi]$: $\{e^{jn\omega}\}_{n \in \mathbb{Z}}$
 - Produit scalaire: $\langle X, Y \rangle_{L_2([-\pi, \pi])} = \frac{1}{2\pi} \int_{-\pi}^{+\pi} X(\omega) Y^*(\omega) d\omega$
 - Série de Fourier: $F(e^{j\omega}) = \sum_{n \in \mathbb{Z}} c_n e^{jn\omega} = \sum_{n \in \mathbb{Z}} f[n] e^{-jn\omega} \Rightarrow f[n] = c_{-n}$
- En effet: $c_{-k} = \langle F(e^{j\omega}), e^{-jk\omega} \rangle_{L_2([-\pi, \pi])} = \sum_{n \in \mathbb{Z}} f[n] \underbrace{\langle e^{-jn\omega}, e^{-jk\omega} \rangle_{L_2([-\pi, \pi])}}_{\delta[n-k]} = f[k]$
- $\Leftrightarrow f[n] = \frac{1}{2\pi} \int_{-\pi}^{+\pi} F(e^{j\omega}) e^{jn\omega} d\omega$ est le n ème coefficient de Fourier de $F(e^{j\omega})$.

Propriétés de la DTFT (suite)

- Stabilité: $f \in \ell_1(\mathbb{Z}) \Rightarrow F(e^{j\omega})$ bornée et continue.
- Inversion: $f[n] = \mathcal{F}_d^{-1}\{F(e^{j\omega})\}[n] \triangleq \frac{1}{2\pi} \int_{-\pi}^{\pi} F(e^{j\omega}) e^{jn\omega} d\omega$
- Convolution: $\mathcal{F}_d\{f * g\}(\omega) = F(e^{j\omega}) \cdot G(e^{j\omega})$
- Multiplication: $\mathcal{F}_d\{f[n] \cdot g[n]\}(\omega) = \frac{1}{2\pi} \int_{-\pi}^{\pi} F(e^{j\omega}) \cdot G(e^{j(\omega-\xi)}) d\xi$
- Parseval: $\sum_{n \in \mathbb{Z}} f[n] \cdot g[n]^* = \frac{1}{2\pi} \int_{-\pi}^{\pi} F(e^{j\omega}) \cdot \left(G(e^{j\omega})\right)^* d\omega$
- Multiplication par n^k : $\mathcal{F}_d\{n^k f[n]\}(\omega) = (j)^k \frac{d^k}{d\omega^k} \left\{F(e^{j\omega})\right\}$
- Moment d'ordre k : $\sum_{n \in \mathbb{Z}} n^k f[n] = (j)^k \left. \frac{d^k}{d\omega^k} \left\{F(e^{j\omega})\right\} \right|_{\omega=0}$

Transformation de Fourier et filtrage

L'effet d'un système LID, $S_h : f \mapsto h * f$, se traduit par une multiplication de la DTFT du signal par $H(e^{j\omega})$ où certaines **composantes spectrales** sont amplifiées ou atténuées et, éventuellement, déphasées. On parle alors de **filtrage**.

■ Caractéristiques spectrales

- $H(e^{j\omega}) = \mathcal{F}_d\{h\}(\omega)$: **réponse fréquentielle** du système (ou filtre discret).
- Borne supérieure : $H_{\max} = \sup_{\omega \in [-\pi, +\pi]} |H(e^{j\omega})| < \infty$
- Borne inférieure : $H_{\min} = \inf_{\omega \in [-\pi, +\pi]} |H(e^{j\omega})| \geq 0$

■ Conséquence de la relation de Parseval

- $\|h * f\|_{\ell_2}^2 = \frac{1}{2\pi} \int_{-\pi}^{\pi} |H(e^{j\omega})|^2 |F(e^{j\omega})|^2 d\omega$
- $\Rightarrow H_{\min}^2 \left(\frac{1}{2\pi} \int_{-\pi}^{\pi} |F(e^{j\omega})|^2 d\omega \right) \leq \|h * f\|_{\ell_2}^2 \leq H_{\max}^2 \left(\frac{1}{2\pi} \int_{-\pi}^{\pi} |F(e^{j\omega})|^2 d\omega \right)$
- $\forall f \in \ell_2(\mathbb{Z}) : H_{\min} \|f\|_{\ell_2} \leq \|h * f\|_{\ell_2} \leq H_{\max} \|f\|_{\ell_2}$

Stabilité au sens $\ell_2(\mathbb{Z})$ et filtrage inverse

Réponse fréquentielle: $H(e^{j\omega}) = \sum_{n \in \mathbb{Z}} h[n]e^{-j\omega n} = \mathcal{F}_d\{h\}(\omega)$

telle que $0 < H_{\min} \leq |H(e^{j\omega})| \leq H_{\max} < +\infty$

Théorème

$S_h : f \mapsto h * f$ est ℓ_2 -stable $\Leftrightarrow H_{\max} < \infty$.

Spécifiquement, on a $\forall f \in \ell_2(\mathbb{Z}) : \|h * f\|_{\ell_2} \leq H_{\max} \|f\|_{\ell_2}$.

NB: Condition moins restrictive que $h \in \ell_1(\mathbb{Z})$

Inverse de convolution

L'opérateur $S_h : f \mapsto h * f$ avec $H_{\max} < \infty$ est **inversible** sur $\ell_2(\mathbb{Z})$ **si et seulement si** sa réponse fréquentielle est bornée en dessous (c.-à-d. $H_{\min} > 0$). Alors, $S_h^{-1} : f \mapsto h_{\text{inv}} * f$ avec

$$h_{\text{inv}}[n] = \mathcal{F}_d^{-1} \left\{ \frac{1}{H(e^{j\omega})} \right\} [n]$$

Conditionnement: H_{\max}/H_{\min}

Exemples de filtres

■ Filtre passe-bas idéal discret

■ $h_{\text{ideal}}[n] = \frac{1}{T} \text{sinc}\left(\frac{n}{T}\right)$ avec $T \geq 1$

Rappel:

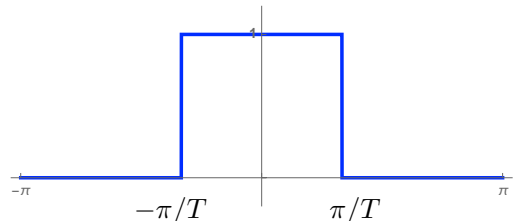
$$\text{sinc}\left(\frac{t}{T}\right) \leftrightarrow T \text{rect}\left(\frac{\omega T}{2\pi}\right)$$

■ Formule de Poisson (périodisation):

$$H_{\text{ideal}}(e^{j\omega}) = \text{rect}\left(\frac{\omega T}{2\pi}\right) \text{ pour } \omega \in [-\pi, +\pi]$$

■ Bornes: $H_{\max} = 1, H_{\min} = 0$

\Rightarrow Non-invertible



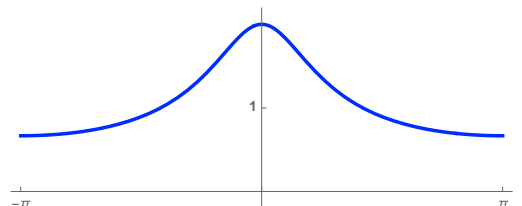
■ Filtre du premier ordre

■ $h_a[n] = a^n u[n]$ avec $|a| < 1$

■ $H_a(e^{j\omega}) = \frac{1}{1 - ae^{-j\omega}}$

■ Bornes: $H_{\max} = \frac{1}{1 - |a|}, H_{\min} = \frac{1}{1 + |a|} > 0$

\Rightarrow Invertible !



	Signal discret	DTFT (Fourier discret)
Définition	$f[n]$	$F(e^{j\omega}) \triangleq \sum_{n \in \mathbb{Z}} f[n] e^{-j\omega n}$
Renversement	$(f[n])^\vee = f[-n]$	$F(e^{-j\omega}) = F(e^{j\omega})^\vee$
Conjugué	$(f[n])^*$	$(F(e^{-j\omega}))^*$
Décalage	$f[n - n_0]$	$e^{-j\omega n_0} F(e^{j\omega})$
Modulation	$e^{j\omega_0 n} f[n]$	$F(e^{j(\omega - \omega_0)})$
Mult. par monôme	$n^k f[n]$	$j^k \frac{d^k}{d\omega^k} F(e^{j\omega})$
Convolution	$(h * f)[n]$	$H(e^{j\omega}) F(e^{j\omega})$
Multiplication	$f[n]g[n]$	$\frac{1}{2\pi} \int_{-\pi}^{\pi} F(e^{j\xi}) G(e^{j(\omega - \xi)}) d\xi$

$$\begin{aligned}
 \text{Somme} \quad \sum_{n \in \mathbb{Z}} f[n] &= F(e^{j\omega}) \Big|_{\omega=0} = F(1) \\
 \text{Parseval} \quad \langle f, g \rangle_{\ell_2} = \sum_{n \in \mathbb{Z}} f[n] (g[n])^* &= \frac{1}{2\pi} \int_{-\pi}^{\pi} F(e^{j\omega}) (G(e^{j\omega}))^* d\omega
 \end{aligned}$$

	Signal discret	DTFT (Fourier discret)
$\frac{1}{2\pi}$		$\delta_{\text{perio}}(\omega) = \sum_{m \in \mathbb{Z}} \delta(\omega + 2\pi m)$
$e^{j\omega_0 n}, \quad \omega_0 \in \mathbb{R}$		$(2\pi) \delta_{\text{perio}}(\omega - \omega_0)$
$\cos(\omega_0 n)$		$\pi (\delta_{\text{perio}}(\omega + \omega_0) + \delta_{\text{perio}}(\omega - \omega_0))$
$\sin(\omega_0 n)$		$j\pi (\delta_{\text{perio}}(\omega + \omega_0) - \delta_{\text{perio}}(\omega - \omega_0))$
$\delta[n - n_0], \quad n_0 \in \mathbb{Z}$		$e^{-j\omega n_0}$
$u[n] = \mathbb{1}_+[n] = \begin{cases} 1, & n \geq 0 \\ 0, & \text{sinon} \end{cases}$		$\frac{1}{1 - e^{-j\omega}} + \pi \delta_{\text{perio}}(\omega)$
$\mathbb{1}_{[-N \dots N]}[n] = \begin{cases} 1, & n \leq N \\ 0, & \text{sinon} \end{cases}$		$\frac{\sin \frac{(2N+1)\omega}{2}}{\sin \frac{\omega}{2}}$
$e^{\alpha n} u[n], \quad \text{Re}(\alpha) < 0$		$\frac{1}{1 - e^{\alpha - j\omega}}$
$\frac{(n+N-1)!}{n! (N-1)!} e^{\alpha n} u[n], \quad \text{Re}(\alpha) < 0$		$\left(\frac{1}{1 - e^{\alpha - j\omega}} \right)^N$

10.2 LA TRANSFORMÉE DE FOURIER DISCRÈTE

- Définition de la DFT
- Lien avec la transformée de Fourier
- Lien avec la DTFT
- Inversion de la DFT
- Ré-échantillonnage de la DTFT
- Propriétés de la DFT

Convention implicite

Signal discret **N -périodique** $f_N[n] = f_N[n + kN]$, $\forall n, k \in \mathbb{Z}$

10-19

Définition de la DFT

À partir d'une suite discrète **N -périodique** $f[n] = f_N[n]$, on construit une nouvelle suite également N -périodique $F[m]$ appelée **transformée de Fourier discrète** (DFT) de $f[n]$

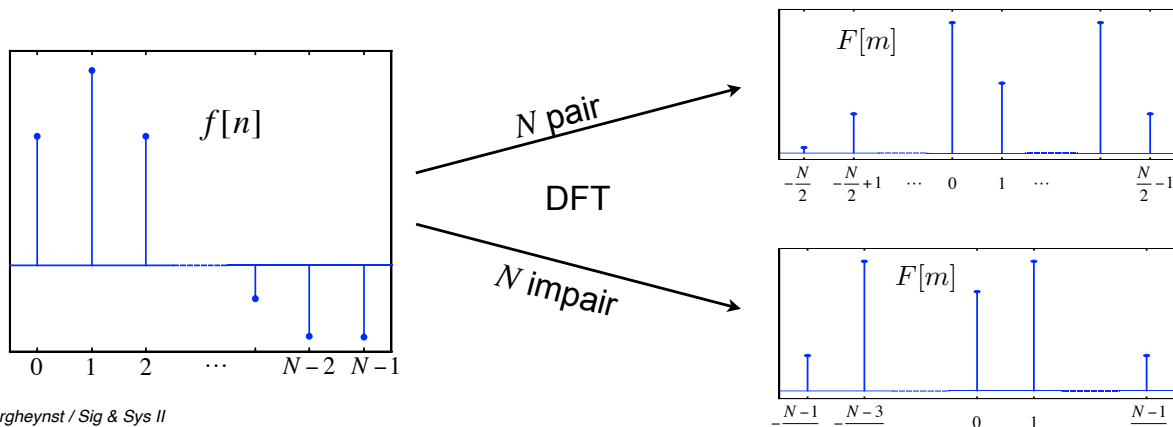


$$\text{DFT}\{f\}[m] \stackrel{\text{notation}}{=} F[m] \triangleq \sum_{n=0}^{N-1} f[n] e^{-j m \frac{2\pi}{N} n}$$

important!

Remarque: il s'agit d'une **transformation linéaire en dimension finie** qui prend un vecteur $\mathbf{f} = (f[n])_{n=0}^{N-1} \in \mathbb{C}^N$ et lui associe un autre vecteur complexe $\mathbf{F} = (F[m])_{m=0}^{N-1} \in \mathbb{C}^N$.

Représentation matricielle : $\mathbf{F} = \mathbf{A}_{\text{DFT}} \mathbf{f}$ où $\mathbf{A}_{\text{DFT}} \in \mathbb{C}^{N \times N}$ avec $[\mathbf{A}_{\text{DFT}}]_{m,n} = e^{-j m \frac{2\pi}{N} n}$



Lien avec la transformée de Fourier

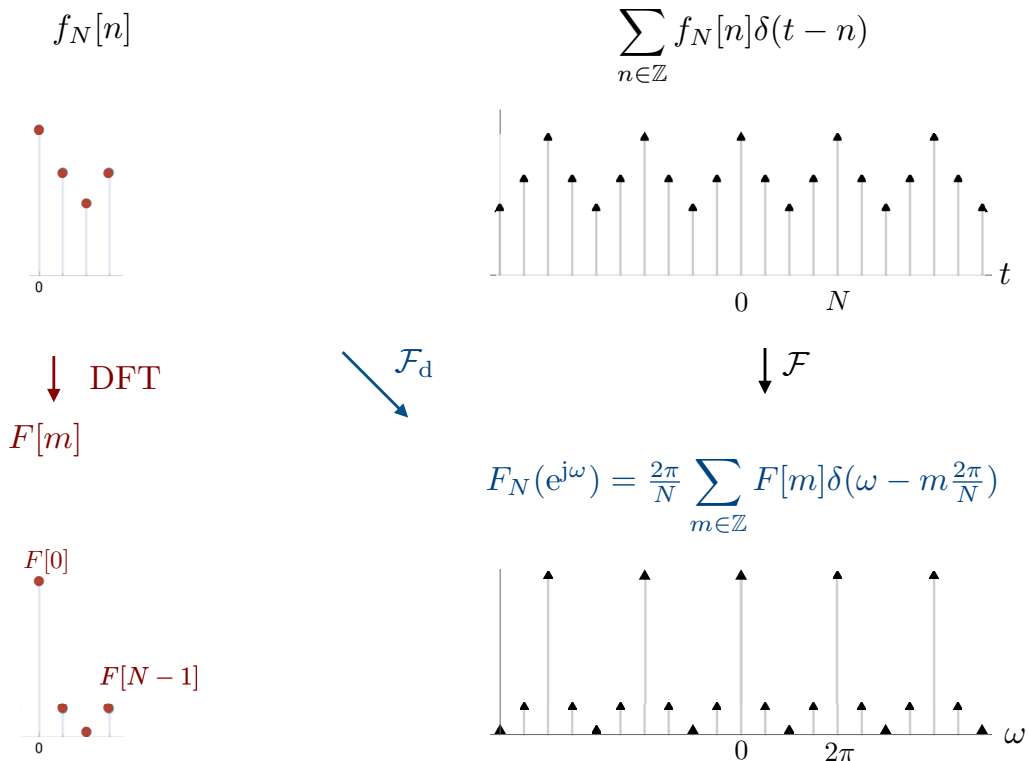
Calculons la **transformée de Fourier** (à temps continu) du signal continu représentant le signal **N -périodique** discret $f_N[n]$

$$\begin{aligned}
 \mathcal{F}\left\{\sum_{n \in \mathbb{Z}} f_N[n] \delta(t - n)\right\}(\omega) &= \sum_{n \in \mathbb{Z}} f_N[n] e^{-j\omega n} \\
 &= \sum_{n_0=0}^{N-1} \sum_{n_1 \in \mathbb{Z}} f_N[n_0 + n_1 N] e^{-j\omega(n_0 + n_1 N)} & n = n_0 + n_1 N \\
 &= \sum_{n_0=0}^{N-1} f_N[n_0] e^{-j\omega n_0} \sum_{n_1 \in \mathbb{Z}} e^{-j\omega n_1 N} & (N\text{-périodicité de } f_N) \\
 &= \sum_{n=0}^{N-1} f_N[n] e^{-j\omega n} \left(\frac{2\pi}{N} \sum_{m \in \mathbb{Z}} \delta\left(\omega - m \frac{2\pi}{N}\right) \right) & (\text{Formule de Poisson}) \\
 &= \frac{2\pi}{N} \sum_{m \in \mathbb{Z}} \underbrace{\left(\sum_{n=0}^{N-1} f_N[n] e^{-jm \frac{2\pi}{N} n} \right)}_{F[m]} \cdot \delta\left(\omega - m \frac{2\pi}{N}\right) & (\text{Multiplication par } \delta)
 \end{aligned}$$

Il s'agit d'un **train de Diracs** aux fréquences $\omega_m = \frac{m2\pi}{N}$ dont l'amplitude est donnée par la DFT de $f_N[n]$



$$\sum_{n \in \mathbb{Z}} f_N[n] \delta(t - n) \xrightarrow{\text{Fourier}} \frac{2\pi}{N} \sum_{m \in \mathbb{Z}} F[m] \delta\left(\omega - m \frac{2\pi}{N}\right)$$



Lien avec la DTFT

La version N -périodisée d'un signal $f[\cdot] \in \ell_1(\mathbb{Z})$ est définie par

$$f_N[n] = \sum_{k \in \mathbb{Z}} f[n + kN], \quad \text{avec } f_N[\cdot] \in \ell_\infty(\mathbb{Z}).$$

Échantillonons $F(e^{j\omega}) = \mathcal{F}_d\{f\}(\omega)$ aux fréquences $\omega_m = m \frac{2\pi}{N}$

$$\begin{aligned} F(e^{j\omega_m}) &= \sum_{k \in \mathbb{Z}} f[k] e^{-jm \frac{2\pi}{N} k} & k = n + n_1 N \\ &= \sum_{n=0}^{N-1} \underbrace{\sum_{n_1 \in \mathbb{Z}} f[n + n_1 N] e^{-jm \frac{2\pi}{N} n_0}}_{f_N[n]} \underbrace{e^{-jm 2\pi n}}_1 = F_N[m] \end{aligned}$$



Donc, les **échantillons** de la **DTFT** d'un signal discret $f[n]$ sont la **DFT** de sa version N -périodisée $f_N[n]$ (aliasée en général).

En particulier: si $f[\cdot]$ est à support fini dans $[0 \dots N-1]$, $f_N[\cdot]$ et $f[\cdot]$ coïncident sur ce support; dans ce cas, $f_N[\cdot]$ n'est pas aliasée.

Inversion de la DFT

Grâce au lien entre la DFT et la transformée de Fourier à temps continu, on a



$$f[n] = \mathbf{DFT}^{-1}\{F\}[n] = \frac{1}{N} \sum_{m=0}^{N-1} F[m] e^{jn \frac{2\pi}{N} m}$$

$$\begin{aligned} \text{Vérification directe: } \frac{1}{N} \sum_{m=0}^{N-1} F[m] e^{jn \frac{2\pi}{N} m} &= \frac{1}{N} \sum_{m=0}^{N-1} \left(\sum_{k=0}^{N-1} f[k] e^{-jm \frac{2\pi}{N} k} \right) e^{jn \frac{2\pi}{N} m} \\ &= \frac{1}{N} \sum_{m=0}^{N-1} \sum_{k=0}^{N-1} f[k] e^{jm \frac{2\pi}{N} (n-k)} \\ &= \frac{1}{N} \sum_{k=0}^{N-1} f[k] \underbrace{\sum_{m=0}^{N-1} e^{jm \frac{2\pi}{N} (n-k)}}_{N \delta[n-k]} = f[n] \end{aligned}$$

Remarquer la relation de **dualité**

$$\mathbf{DFT}\{\mathbf{DFT}\{f\}\}[n] = N f[-n]$$

Propriétés de la DFT

Opération	Signal discret	DFT
N -périodicité	$f[n + N] = f[n]$	$F[m + N] = F[m]$
Décalage	$f[n - n_0]$	$e^{-j(\frac{2\pi}{N}m)n_0} \cdot F[m]$
Retournement	$f[-n]$	$F[-m]$
Modulation	$e^{j m_0 \frac{2\pi}{N} n} \cdot f[n]$	$F[m - m_0]$
Conjugaison	$f[n]^*$	$F[-m]^*$
Dualité	$F[n]$	$N \cdot f[-m]$
Convolution cyclique	$\sum_{k=0}^{N-1} f[k] \cdot g[n - k]$	$F[m] \cdot G[m]$
Multiplication	$f[n] \cdot g[n]$	$\frac{1}{N} \sum_{k=0}^{N-1} F[k] \cdot G[m - k]$

■ Relation de Parseval:

$$\sum_{n=0}^{N-1} f[n] \cdot g[n]^* = \frac{1}{N} \sum_{m=0}^{N-1} F[m] \cdot G[m]^*$$

Ré-échantillonnage de la DTFT

Il est souvent nécessaire de calculer la DTFT d'un signal discret non-périodique en d'autres échantillons fréquentiels que $\omega_m = m \frac{2\pi}{N}$.

On suppose que le support de $f[n]$ est $[0 \dots N - 1]$.

Il y a alors deux possibilités:

- Soit exprimer la DTFT directement à l'aide de ses échantillons $F(e^{j\omega_m}) = F[m]$ en utilisant la formule d'**interpolation**

$$\begin{aligned}
 F(e^{j\omega}) &= \sum_{n=0}^{N-1} f[n] e^{-j\omega n} = \sum_{n=0}^{N-1} \underbrace{\frac{1}{N} \sum_{m=0}^{N-1} F[m] e^{jn \frac{2\pi}{N} m}}_{\mathbf{DFT}^{-1}\{F[m]\}} e^{-j\omega n} = \sum_{m=0}^{N-1} \underbrace{\frac{1}{N} \sum_{n=0}^{N-1} e^{-j(\omega - \frac{2\pi}{N} m)n}}_{D_N(\omega - \omega_m)} F[m] \\
 &= \sum_{m=0}^{N-1} D_N(\omega - m \frac{2\pi}{N}) F[m] \xleftarrow[\text{de la formule de Shannon}]{\text{Version discrète}} \text{noyau de Dirichlet}
 \end{aligned}$$

- Soit choisir une taille de périodisation N plus grande ("zero padding").

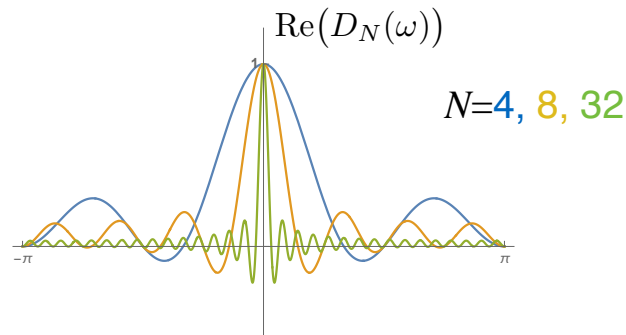
Noyau de Dirichlet = sinc périodisé

Fenêtre de moyennage causale: $h_N[n] = \frac{1}{N} \mathbb{1}_{[0 \dots N-1]}[n]$

$$\text{Rappel: } \sum_{n=0}^{N-1} z^{-n} = \frac{1 - z^{-N}}{1 - z^{-1}}$$

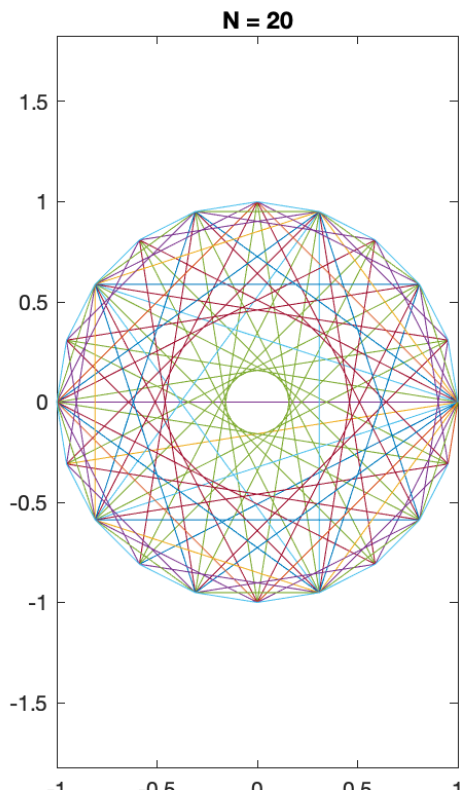
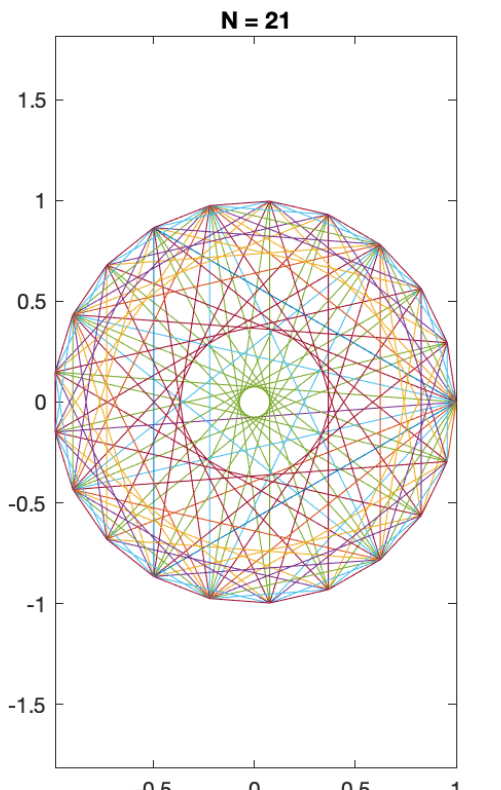
Noyau de Dirichlet: $D_N(\omega) = \mathcal{F}_d\{h_N\}(\omega) = \frac{1}{N} \sum_{n=0}^{N-1} e^{-j\omega n} = \begin{cases} \frac{1}{N} \frac{1 - e^{-j\omega N}}{1 - e^{-j\omega}}, & \omega \neq 2\pi k \\ 1, & \text{sinon.} \end{cases}$

C'est une fonction 2π -périodique



DFT et racines de l'unité

$\mathbf{F} = \mathbf{A}_{\text{DFT}} \mathbf{f}$ où $\mathbf{A}_{\text{DFT}} \in \mathbb{C}^{N \times N}$ avec $[\mathbf{A}_{\text{DFT}}]_{m,n} = e^{-j\frac{2\pi}{N}mn} = W_N^{mn}$, $m, n \in \{0, \dots, N-1\}$



Notation:
 $W_N = e^{-j\frac{2\pi}{N}}$

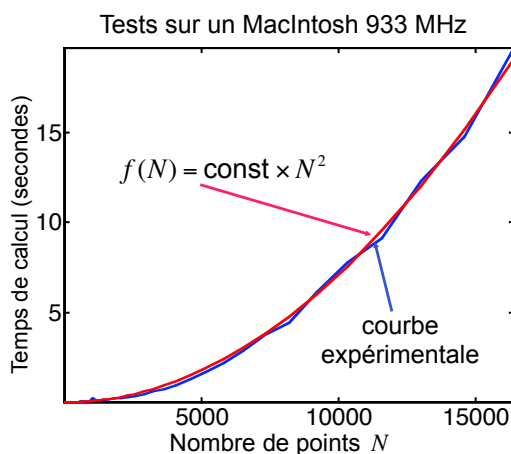
10.3 LA TRANSFORMÉE DE FOURIER RAPIDE (FFT)

- Coût d'implémentation de la DFT
- Grandes lignes de l'algorithme rapide (FFT)
- L'algorithme dyadique
- Représentation graphique
- Coût de l'algorithme dyadique
- Cas de données réelles

10-29

Coût d'implémentation de la DFT

Calculer une DFT sur N points nécessite a priori N multiplications complexes (cas de données complexes) et $N - 1$ additions complexes par fréquence
→ environ $8N^2$ opérations réelles au total.



Le coût de calcul devient vite trop important (en particulier pour le traitement d'images) → nécessité d'un algorithme **rapide** (Cooley et Tuckey en 1965).

Grandes lignes de l'algorithme rapide (FFT)

Pour accélérer les calculs, il faut remarquer que, si N peut se factoriser sous la forme $N = p \cdot q$, alors on peut diviser la somme de la DFT

$$F[m] = \sum_{n=0}^{N-1} f[n] \cdot W_N^{mn} \quad \text{où } W_N = e^{-j\frac{2\pi}{N}}$$

en sous-sommes qui sont autant de DFT plus petites (méthode de la **décimation temporelle**):

$$F[m] = \sum_{n_0=0}^{p-1} \sum_{n_1=0}^{q-1} f[n_0 + n_1 p] \cdot W_N^{m(n_0+n_1 p)} = \sum_{n_0=0}^{p-1} W_N^{mn_0} \underbrace{\sum_{n_1=0}^{q-1} f[n_0 + n_1 p] \cdot W_q^{mn_1}}_{\text{DFT sur } q=N/p \text{ points}}$$

$W_N^{mn_1 p}$

Si $C(N) < \alpha \cdot N^2$ est le coût d'une DFT sur N points, on peut obtenir avec cette technique

$$C(N) = p \cdot C(q) + p \cdot N$$

Or $C(q) \leq \alpha \cdot (N/p)^2$, d'où

$$C(N) \leq \alpha \cdot N^2 (1/p + p/(\alpha N)) \underset{N \text{ grand}}{\approx} (\alpha \cdot N^2)/p \ll \alpha \cdot N^2$$

qui indique un gain (asymptotique) d'un facteur p .

L'algorithme dyadique

Le cas le plus simple apparaît pour $N = 2q$. Dans ce cas, la méthode de la décimation temporelle avec $p = 2$ et $q = N/2$ donne

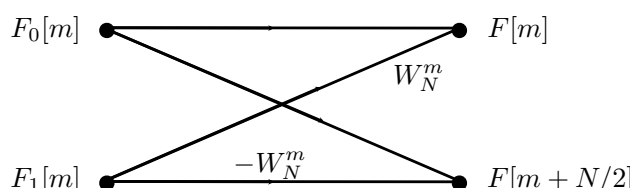
$$F[m] = \underbrace{\sum_{n_1=0}^{N/2-1} f[2n_1] \cdot W_{N/2}^{mn_1}}_{F_0[m]} + W_N^m \cdot \underbrace{\sum_{n_1=0}^{N/2-1} f[2n_1 + 1] \cdot W_{N/2}^{mn_1}}_{F_1[m]}$$

Puis, on observe que $F_0[m + N/2] = F_0[m]$ et $F_1[m + N/2] = F_1[m]$ (périodicité de la DFT) d'où la division des fréquences en deux ensembles: $0, 1, \dots, (N/2 - 1)$ et $N/2, (N/2 + 1), \dots, (N - 1)$

$$\begin{aligned} F[m] &= F_0[m] + W_N^m \cdot F_1[m] \\ F[m + N/2] &= F_0[m] - W_N^m \cdot F_1[m] \end{aligned} \quad \text{pour } m = 0, 1, \dots, (N/2 - 1)$$

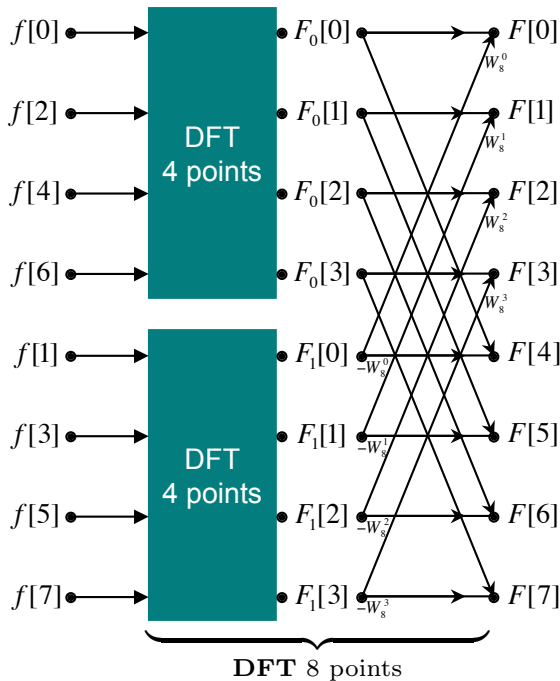
Représentation graphique, le **papillon**:

$$\text{NB: } W_N^{m+N/2} = W_N^m W_N^{N/2} = -W_N^m$$

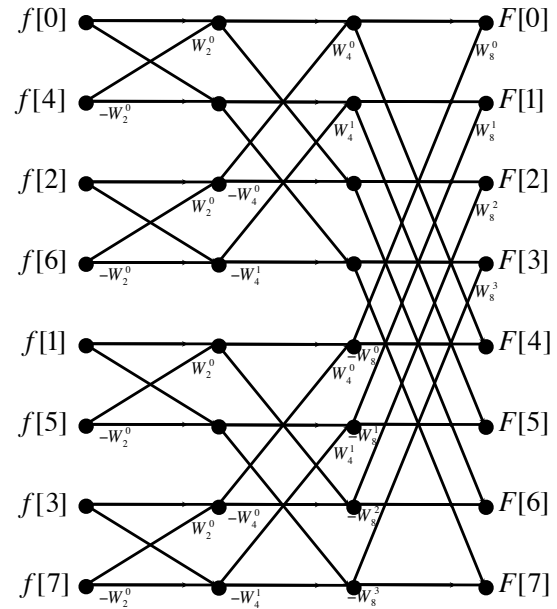


Représentation graphique

Une itération de l'algorithme de FFT



Toutes les itérations



Coût de l'algorithme dyadique

Le coût d'un papillon est de **deux** additions complexes et d'**une** multiplication et pour chacune des $N/2$ fréquences calculées.

Donc, si $C_{\text{add}}(M)$ et $C_{\text{mult}}(M)$ sont le coût en additions et multiplications complexes d'une FFT sur $N = 2^M$ points, on peut écrire

$$\begin{aligned} C_{\text{add}}(M) &= 2 \cdot 2^{M-1} + 2 \cdot C_{\text{add}}(M-1) & \Leftrightarrow C_{\text{add}}(M) &= M \cdot 2^M = N \log_2(N) \\ C_{\text{mult}}(M) &= 1 \cdot 2^{M-1} + 2 \cdot C_{\text{mult}}(M-1) & C_{\text{mult}}(M) &= 2^{M-1}(M-1) = \frac{N}{2} \log_2(\frac{N}{2}) \end{aligned}$$



Le coût de l'algorithme FFT dyadique est proportionnel à $N \log_2(N)$.

En particulier, plus N est grand, plus $N \log_2(N) \ll N^2$ (coût de la DFT).

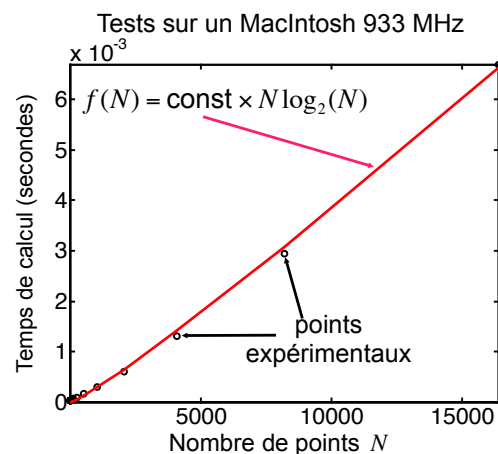
Fonction MatLab correspondante:

`G = FFT(F)`

Calcule la DFT du vecteur de données

`F=[F(1) F(2) ... F(N)]` pour N arbitraire en utilisant un algorithme de FFT.

Note: implémentation très optimisée!



Cas de données réelles

Soient deux signaux discrets réels $f[n]$ et $g[n]$ de taille N dont on désire calculer la FFT. On construit le signal complexe $h[n] = f[n] + j \cdot g[n]$ dont la DFT est $H[m]$ (calculée en $O(N \log_2 N)$ opérations par l'algorithme de FFT).

Comment retrouver $F[m]$ et $G[m]$ à partir de $H[m]$?

■ Solution

- linéarité de la DFT: $H[m] = F[m] + j \cdot G[m]$

- symétrie Hermitienne de $F[m]$ et $G[m]$

$$\Rightarrow H[-m]^* = (F[-m] + j \cdot G[-m])^* = F[m] - j \cdot G[m]$$

$$\text{d'où, par résolution, } F[m] = \frac{H[m] + H[-m]^*}{2} \text{ et } G[m] = \frac{H[m] - H[-m]^*}{2j}.$$

\Rightarrow 2 FFT réelles pour le prix d'une FFT complexe (et quelques additions)!

Remarque: une idée similaire peut être appliquée pour calculer la DFT d'un signal réel de taille $2N$ à l'aide d'une FFT complexe de taille N : choisir $h[n] = f[2n] + j \cdot f[2n+1]$.